

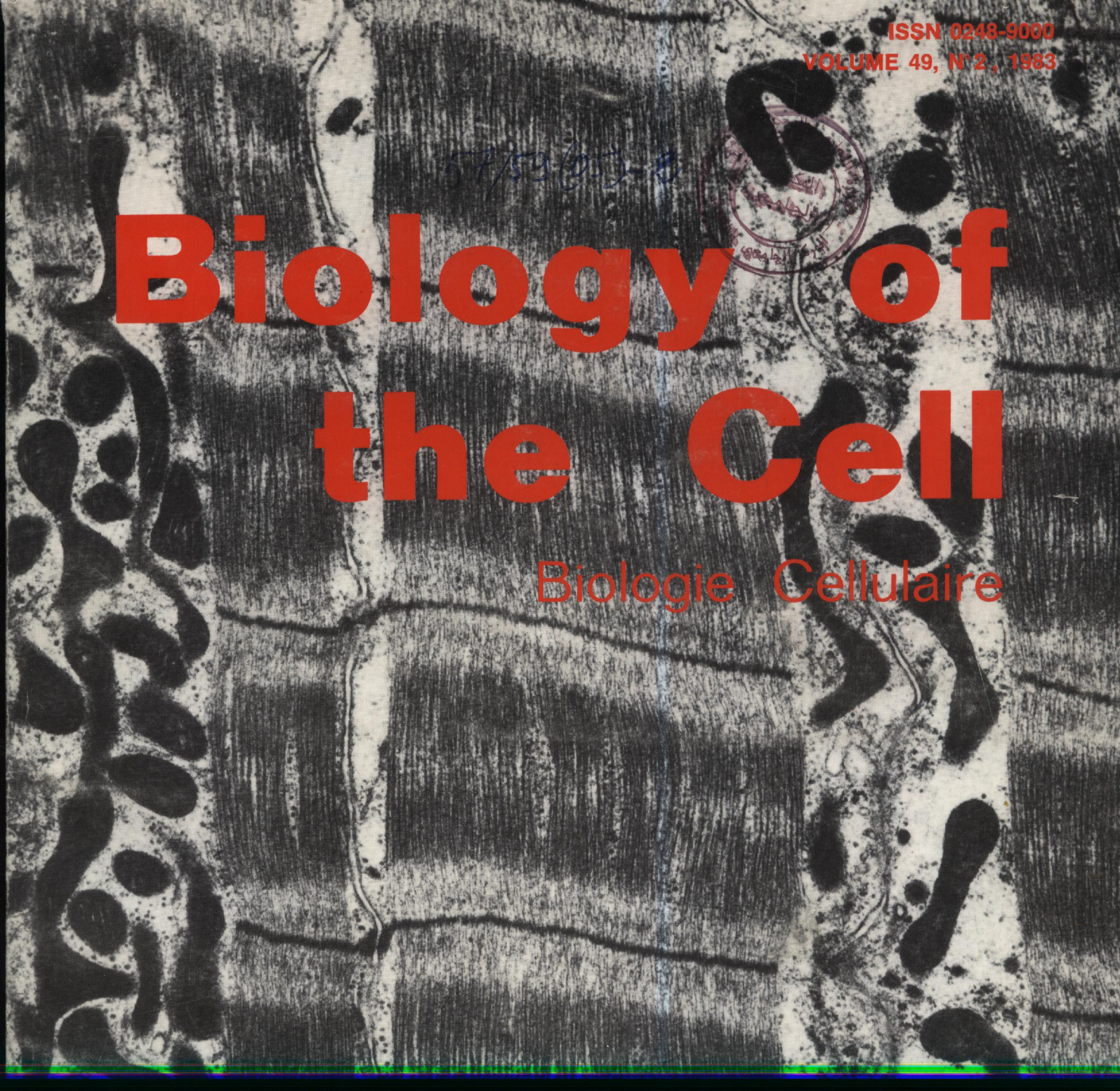
ISSN 0248-9000
VOLUME 49, N° 2, 1983

5759/83-8



Biology of the Cell

Biologie Cellulaire



SOMMAIRE, Volume 49, n° 2, 1983

Biology of the Cell / Biologie Cellulaire



MÉMOIRES ORIGINAUX

- VERNA A. Un appareillage simple de congélation rapide pour la préservation des ultrastructures : évaluation par cryo-substitution (*en anglais*) 95
- KONDO H., PAPPAS G.D. et WOLOSEWICK J.J. Le réseau du cytosquelette des cellules neurohypophysaires (*en anglais*) 99
- ROMQUIN N., PLOUET J., BARRITAUULT D. et COURTOIS Y. Les cellules endothéliales vasculaires humaines et bovines. Effet comparatif d'un facteur de croissance isolé de l'œil (EDGF) et de la matrice extracellulaire sur la croissance et la longévité cellulaires (*en anglais*) 109
- MARTEL P., HOUDEBINE L.M., TEYSSOT B. et DJIANE J. Effet des esters de phorbols sur la multiplication et la différenciation de la cellule mammaire (*en anglais*) 119
- OLLIVIER-BOUSQUET M. Rôle du Ca^{2+} dans la sécrétion des caséines du lait par la cellule épithéliale mammaire de lapine en lactation 127
- DUPONT H., DUPONT M.A., BRICAUD H. et BOISSEAU M.R. Séparation des mégacaryocytes en classes homogènes par sédimentation à 1 g : caractérisation physico-chimique, ultrastructurale et cytophotométrique (*en anglais*) 137
- REMY L., PENEL C., RUA S., MAZZELLA E. et MICHEL-BECHET M. Effets de la thyrotropine sur le transfert de vésicules et la morphogénèse des follicules thyroïdiens : une étude stéréologique chez le rat (*en anglais*) 145
- SERRES C., ESCALIER D. et DAVID G. Morphométrie ultrastructurale du flagelle de spermatozoïde humain, avec une analyse stéréologique des longueurs des fibres denses (*en anglais*) 153
- GAFFIERO P., BERGERON M. et THIERY G. Ultrastructure des organites cellulaires au cours de la maturation cellulaire. II. Le chondriome des cellules épithéliales du rein et du jéjunum (*en anglais*) 163
- MULISCH M., HERTH W., ZUGENMAIER P. et HAUSMANN K. Les fibrilles de chitine dans la lorica du cilié *Eufolliculina uhligi* : ultrastructure, assemblage extracellulaire et inhibition expérimentale (*en anglais*) 169

longueurs des fibres denses (<i>en anglais</i>)	153
GAFFIERO P., BERGERON M. et THIERY G. Ultrastructure des organites cellulaires au cours de la maturation cellulaire. II. Le chondriome des cellules épithéliales du rein et du jéjunum (<i>en anglais</i>)	163
MULISCH M., HERTH W., ZUGENMAIER P. et HAUSMANN K. Les fibrilles de chitine dans la lorica du cilié <i>Eufolliculina uhligi</i> : ultrastructure, assemblage extracellulaire et inhibition expérimentale (<i>en anglais</i>)	169

COMMUNICATIONS RAPIDES

VIAN B., BRILLOUET J.M. et SATIAT-JEUNEMAITRE B. Visualisation ultrastructurale des xylanes des parois cellulaires du bois au moyen du complexe xylanase-or (<i>en anglais</i>)	179
ALQUIER C., ATHOUËL-HAON A.M., MAZZELLA E. et MICHEL-BECHET M. Conservation de la membrane basale dans les cultures de follicules thyroïdiens isolés (<i>en anglais</i>)	183
SALESSE R., GENTY N. et GARNIER J. La lutropine est métabolisée beaucoup plus rapidement que la choriogonadotropine humaine par les cellules de Leydig de porc en culture primaire (<i>en anglais</i>)	187